

## СТОХАСТИЧЕСКОЕ ОПТИМАЛЬНОЕ УПРАВЛЕНИЕ ПРОЦЕССАМИ РИСКА С ЛИПШИЦЕВЫМИ ФУНКЦИЯМИ ВЫИГРЫША

**Аннотация.** Исследована задача стохастического оптимального управления дивидендной политикой страховой компании в дискретном времени с общей липшицевой функцией выигрыша, включающей индикаторы доходности и риска. Для построения оптимальных управлений и оценки показателей функционирования компании обоснован метод динамического программирования. Получены оценки скорости сходимости метода последовательных приближений для нахождения, вообще говоря, неограниченных функций Беллмана. Парето-оптимальное множество задачи численно аппроксимируется с помощью барьерно-пропорциональных стратегий управления.

**Ключевые слова:** процесс риска, страхование, стохастическое оптимальное управление, дискретное время, липшицевые функции выигрыша, оптимальная дивидендная политика, динамическое программирование, метод последовательных приближений, парето-оптимальность, барьерно-пропорциональные стратегии.

### ВВЕДЕНИЕ

В настоящей работе исследуется проблема оптимального управления дивидендной политикой страховой компании в дискретном времени и с общей липшицевой функцией выигрыша, включающей индикаторы доходности и риска. Функционирование страховой компании описывается стохастическим процессом риска в дискретном времени с вычитанием дивидендов. Концептуально данная задача рассматривается как двухкритериальная: необходимо максимизировать ожидаемый показатель доходности (средние суммарные дисконтированные дивиденды) и минимизировать риск (вероятность) разорения на заданном интервале планирования. Цель работы состоит в построении парето-оптимальных границ в пространстве показателей качества управления «доходность–риск».

В однокритериальной постановке для бесконечного интервала времени проблема нахождения оптимальных дивидендов изучалась в работах [1–4] и других (обзоры [5, 6]). В качестве основного критерия оптимизации использовались средние суммарные дисконтированные дивиденды. В частности, в [1] описан следующий парадокс (парадокс де Финетти): при оптимальной стратегии управления (на бесконечном интервале времени) страховая компания разоряется с вероятностью единица (см. также обсуждение парадокса в [2–6]). Данний результат показывает, что приведенная постановка задачи не является полностью удовлетворительной. Желательно найти эффективную дивидендную стратегию, при которой вероятность разорения мала. Отметим, что разорение может произойти в очень отдаленном будущем, поэтому целесообразно рассматривать процесс на конечном интервале времени. Кроме того, важно явно учесть в постановке задачи показатели риска.

Частные случаи задачи оптимизации дивидендных стратегий с учетом показателей риска (вероятность разорения или время жизни процесса, конечного состояния процесса) изучались в [8–17]. В работах [18–20] данная проблема решалась путем оптимизации свертки показателей доходности и риска. Однако в общем случае проблема многокритериальной оптимизации дивидендных стратегий для разнообразных критериев доходности и риска ни теоретически, ни практически (численно) полностью не решена. Трудность состоит в том, что оптимальное значение функционала задачи не является равномерно ограниченной сверху функцией на множестве начальных состояний процесса риска. Это не позволяет использовать стандартную sup-норму для функций Беллмана и принцип сжимаю-

щих отображений для нахождения решения. Кроме того, построение парето-оптимального множества предполагает вычисление разнообразных показателей доходности и риска для того или иного набора управлений, что требует решения большого числа интегральных уравнений и является непростой задачей.

В принципе, парето-оптимальная граница может быть найдена как огибающая множества всех возможных пар «средние дивиденды–вероятность разорения», соответствующих всем допустимым стратегиям управления. Множество таких стратегий бесконечно, поэтому важно перебирать только «хорошие» (эффективные) стратегии. В работах [1–4] отмечено, что для однокритериальной постановки оптимальными являются барьерные (пороговые) стратегии: если текущий капитал меньше некоторого барьера, то дивиденды не выплачиваются, в противном случае выплачивается сумма превышения капитала над порогом. Таким образом, при барьерной стратегии управления процесс не превосходит некоторого барьера. Однако нетрудно видеть, что при барьерной стратегии с увеличением горизонта планирования вероятность разорения стремится к единице [1] (см. также [4]). Поэтому целесообразно рассматривать и другие типы стратегий, при которых процесс риска может быть не ограничен. Одна из них — пропорциональная стратегия, когда в качестве дивидендов выплачивается определенная доля от превышения текущего капитала над заданным порогом (барьером). В [3] изучаются оптимальные нелинейные барьерные стратегии, в которых оптимизируются параметры барьера. Возможно также использование комбинации барьерной и пропорциональной стратегий. Обзор результатов по оптимальным дивидендным стратегиям в однокритериальных задачах приведен в [5–7].

Еще одна возможность построения эффективных стратегий управления состоит в решении задачи стохастического оптимального управления для свертки каких-либо критериев. В работах [18, 19] исследовалась свертка средних дисконтированных дивидендов (с варьируемым коэффициентом) и среднего дисконтированного времени жизни (этот показатель рассматривался также в [2, 16]). Дисконтирование означает, что при принятии текущих решений год жизни в дальнем будущем значит меньше, чем год жизни в ближайшее время. Дисконтирование также позволяет избежать формальной проблемы возможного бесконечного среднего времени жизни. В работе [20] рассматривалась свертка средних дисконтированных дивидендов и среднего дисконтированного заемного капитала, необходимого для предотвращения разорения. Для простых сверток критериев и простого множества допустимых управлений в [18–20] показано, что для полученных агрегированных задач оптимального управления справедлив принцип динамического программирования, выполнены уравнения Беллмана и существуют позиционные оптимальные стратегии управления дивидендами. Однако для общих интегральных липшицевых критериев управления процессом риска эти результаты не справедливы и требуют обобщения. В настоящей статье строятся новые линейные оценки функций Беллмана и новые оценки скорости сходимости метода последовательных приближений для решения уравнений Беллмана. Получены новые условия существования и единственности решений уравнений Беллмана, основанные не на общем принципе сжимающих отображений, а использующие специфику задачи.

Когда дивидендная политика (управление) уже определена, необходимо еще вычислить соответствующие показатели доходности (ожидаемые совокупные дивиденды) и риска (вероятность разорения, средний дефицит капитала). Вопрос эффективности вычисления этих сложных показателей становится принципиальным. Их можно найти путем решения некоторых интегральных уравнений [2, 21, 22] или оценить методом Монте-Карло [23]. В настоящей работе показано, что возникающие интегральные уравнения эффективно решаются методом последовательных приближений.

## МОДЕЛЬ УПРАВЛЯЕМОГО ПРОЦЕССА РИСКА С ВЫЧИТАНИЕМ ДИВИДЕНДОВ

Процесс риска описывает стохастическую эволюцию резервов страховой компании, предназначенных для покрытия страховых требований. Математическая модель эволюции резервов  $X_t$  в дискретном времени  $t = 0, 1, \dots$  имеет вид [1–7]

$$X_{t+1} = f(X_t, U_t, Y_t) = \begin{cases} X_t - U_t + Y_t, & X_t \geq 0, \\ X_t, & X_t < 0, \end{cases} \quad (1)$$

$$X_0 = x \geq 0, \quad U_t \in \mathbf{U}(X_t), \quad t = 0, 1, \dots, \quad (2)$$

где  $\{Y_t \geq 0\}$  — независимые одинаково распределенные (как некоторая случайная величина  $Y$ ) случайные величины (агрегированные премии минус требования) с общей функцией распределения  $F$ ;  $U_t$  — вычитаемые дивиденды из допустимого множества  $\mathbf{U}(X_t) \subseteq [0, X_t]$ ;  $x$  — начальное состояние процесса (1). Обозначим момент остановки (разорения, замирания)  $\tau = \sup \{t \geq 0 : \min_{0 \leq k \leq t} X_k \geq 0\}$

( $\tau = 0$  при  $X_0 < 0$ ) процесса и последовательность допустимых управлений  $U = \{U_t \in \mathbf{U}(X_t), t = 0, 1, \dots\}$ . Будем предполагать, что отображение  $x \rightarrow \mathbf{U}(x) \subseteq \subseteq [0, x]$  компактнозначно и полунепрерывно сверху.

Траектории процесса риска (1), (2) оцениваются на основании показателей выигрыша и риска. В качестве показателей выигрыша могут приниматься, например, среднее время жизни процесса, средние суммарные дисконтированные дивиденды, среднее дисконтированное значение капитала в момент остановки и др. В качестве показателей риска используются вероятность разорения, средний дефицит капитала по траектории или в момент остановки и др.

Обозначим  $r(x, u, y)$  функцию вознаграждения за один шаг времени (по определению  $r(x, u, y) = 0$  при  $x < 0$ ). Например,

$$\begin{aligned} r_0(x, u, y) &= \begin{cases} u, & x \geq 0, \\ 0, & x < 0, \end{cases} & r_1(x, y) &= \begin{cases} 1, & x \geq 0, \\ 0, & x < 0, \end{cases} \\ r_2(x, u, y) &= \begin{cases} \min \{0, x - u + y\}, & x \geq 0, \\ 0, & x < 0, \end{cases} & r_3(x, u, y) &= \begin{cases} \mathbf{1}_{\{x-u+y<0\}}, & x \geq 0, \\ 0, & x < 0, \end{cases} \end{aligned}$$

где  $\mathbf{1}_{\{\cdot\}}$  — индикаторная функция события в скобках (равна единице, если условие в скобках имеет место, и равна нулю в противном случае). Дисконтированная функция выигрыша за  $(t+1)$  периодов при управлении  $U = \{U_t, t = 0, 1, \dots\}$  и начальном состоянии  $x$  имеет вид

$$V_t(x, U) = \mathbf{E} \left[ \sum_{k=0}^t \gamma^k r(X_k, U_k, Y_k) \right] = \mathbf{E} \left[ \sum_{k=0}^{\min\{t, \tau-1\}} \gamma^k r(X_k, U_k, Y_k) \right], \quad (3)$$

где  $\gamma$  — дисконтирующий множитель,  $0 < \gamma \leq 1$ . В частности, представляют интерес следующие показатели: средние суммарные дисконтированные дивиденды (до момента  $\min\{t, \tau-1\}$ )

$$V_t^0(x, U) = \mathbf{E} \left[ \sum_{k=0}^t \gamma^k r_0(X_k, U_k, Y_k) \right] = \mathbf{E} \left[ \sum_{k=0}^{\min\{t, \tau-1\}} \gamma^k U_k \right]; \quad (4)$$

среднее (дисконтированное при  $\gamma < 1$ ) время жизни до момента  $\min\{t, \tau-1\}$

$$V_t^1(x, U) = \mathbf{E} \left[ \sum_{k=0}^t \gamma^k r_1(X_k, U_k, Y_k) \right] = \mathbf{E} \left[ \sum_{k=0}^{\min\{t, \tau-1\}} \gamma^k \right] = \frac{1 - \mathbf{E} \gamma^{\min\{t+1, \tau\}}}{1 - \gamma}; \quad (5)$$

средний дисконтированный дефицит капитала в момент остановки

$$\begin{aligned} V_t^2(x, U) &= \mathbf{E} \left[ \sum_{k=0}^t \gamma^k r_2(X_k, U_k, Y_k) \right] = \\ &= \mathbf{E} \left[ \sum_{k=0}^{\min\{t, \tau-1\}} \gamma^k \min \{0, X_k - U_k + Y_k\} \right]; \end{aligned} \quad (6)$$

(дисконтируемая при  $\gamma < 1$ ) вероятность разорения за время  $t$

$$V_t^3(x, U) = \mathbf{E} \left[ \sum_{k=0}^t \gamma^k r_3(X_k, U_k, Y_k) \right] = \mathbf{E} \left[ \sum_{k=0}^{\min\{t, \tau-1\}} \gamma^k \mathbf{1}_{\{X_k - U_k + Y_k < 0\}} \right]. \quad (7)$$

**Замечание 1.** Среднее время жизни  $\mathbf{E}\tau$  не очень удобный индикатор риска, поскольку оно может равняться бесконечности. Поэтому наряду с  $\mathbf{E}\tau$  в литературе [2, 24] рассматривается также так называемое среднее дисконтируемое время жизни (5):  $V_t^1(x, U) = (1 - \mathbf{E}\gamma^{\min\{t+1, \tau\}}) / (1 - \gamma) \leq 1 / (1 - \gamma)$ . Очевидно, что  $0 \leq V_T^1(x, U) \leq \mathbf{E}\tau$ . Дисконтирование можно интерпретировать как наличие некоторого случайного фактора (с биноминальным распределением), который может остановить процесс риска независимо от его текущего состояния [25].

Определим функции выигрыша (Беллмана)

$$V_t(x) = \sup_{\{U: U_k \in \mathbf{U}(x)\}} V_t(x, U). \quad (8)$$

По определению будем считать, что  $V_t(x) = 0$  для  $x < 0$ . Аналогично  $V_t^i(x) = \sup_{\{U: U_k \in \mathbf{U}(x)\}} V_t^i(x, U)$ , где  $V_t^i(x, U)$  для  $i = 0, 1, 2, 3$  определены в (4)–(7).

Для случая  $t = +\infty$  введем отдельные обозначения:

$$V_\infty(x, U) = \mathbf{E} \left[ \sum_{k=0}^{\tau-1} \gamma^k r(X_k, U_k, Y_k) \right] = V(x, U),$$

$$V_\infty(x) = \sup_{\{U: U_k \in \mathbf{U}(x)\}} V(x, U) = V(x), \quad (9)$$

$$V_\infty^i(x, U) = \mathbf{E} \left[ \sum_{k=0}^{\tau-1} \gamma^k r_i(X_k, U_k, Y_k) \right] = V^i(x, U),$$

$$V_\infty^i(x) = \sup_{\{U: U_k \in \mathbf{U}(x)\}} V^i(x, U) = V^i(x).$$

### СВОЙСТВА ФУНКЦИЙ БЕЛЛМАНА

Если функция вознаграждения за один период времени  $r(x, u, y)$  равномерно ограничена, т.е.  $r(x, u, y) \leq A < +\infty$  для всех  $(x, u, y)$ , то очевидно, что функции (3), (8) также равномерно ограничены:

$$V_t(x, U) \leq V_t(x) \leq A(t+1), \quad \gamma = 1,$$

$$V_t(x, U) \leq V_t(x) \leq A / (1 - \gamma), \quad 0 < \gamma < 1.$$

В противном случае, как, например, при  $r_0(x, u, y) = u$ , ограниченность и конечность функций Беллмана требуют обоснования.

**Лемма 1** (границы для значений функций выигрыша (4)–(7)). Пусть  $\mathbf{U}(x) = [0, x]$ ,  $\mathbf{E} \max\{0, Y\} < +\infty$ ,  $\mathbf{E} \min\{0, Y\} > -\infty$  и  $\gamma < 1$ . Тогда функции Беллмана  $V_t^i(x) = \sup_{\{U: U_k \in \mathbf{U}(x)\}} V_t^i(x, U)$ , где  $V_t^i(x, U)$  определены в (4)–(7), удовлетворяют следующим ограничениям:

$$x \leq V_t^0(x) \leq V^0(x) \leq x + \gamma \mathbf{E} \max\{0, Y\} / (1 - \gamma), \quad (10)$$

$$1 \leq V_t^1(x) \leq V^1(x) \leq 1 / (1 - \gamma), \quad (11)$$

$$\mathbf{E} \min\{0, Y\} / (1 - \gamma) \leq V^2(x) \leq V_t^2(x) \leq 0, \quad (12)$$

$$0 \leq V_t^3(x) \leq V^3(x) \leq 1. \quad (13)$$

**Доказательство.** Неравенства (10) приведены в [26; 4, Lemma 1.8)]. Поскольку

$$1 \leq V_t^1(x, U) \leq V^1(x, U) = \mathbf{E} \sum_{k=0}^{\tau-1} \gamma^k = (1 - \mathbf{E}\gamma^\tau) / (1 - \gamma) \leq 1 / (1 - \gamma),$$

имеем  $1 \leq V_t^1(x) = \sup_U V_t^1(x, U) \leq \sup_U V^1(x, U) = V^1(x) \leq 1/(1-\gamma)$ . Для  $V^2(x, U)$  получаем

$$\begin{aligned} 0 &\geq V_t^2(x, U) \geq V^2(x, U) \geq \mathbf{E} \sum_{k=0}^{\tau-1} \gamma^k \min \{0, Y_k\} = \\ &= \mathbf{E} \min \{0, Y\} \sum_{k=0}^{\infty} \gamma^k \geq \mathbf{E} \min \{0, Y\} / (1-\gamma), \end{aligned}$$

откуда следует (12). Так как  $0 \leq V_t^3(x, U) \leq V^3(x, U) = \gamma^{\tau-1} \leq 1$ , то выполнено (13). Лемма доказана.

**Замечание 2.** Наряду с функциями  $V_t^i(x, U)$  рассмотрим их агрегаты вида

$$V_t(x, U) = V_t^0(x, U) + \lambda V_t^i(x, U), \quad (14)$$

где  $\lambda \geq 0$  — агрегирующий множитель. Им соответствуют функции выигрыша за один шаг

$$r(x, u, y) = r_0(x, u, y) + \lambda r_i(x, u, y) = \begin{cases} u + \lambda r_i(x, u, y), & x \geq 0, \\ 0, & x < 0. \end{cases}$$

В этом случае оценки снизу и сверху для функции Беллмана  $V_t(x) = \sup_U V_t(x, U)$  легко получить из оценок (10)–(13) для составляющих функций  $V_t^i(x, U)$ . Например,

$$\begin{aligned} x &\leq \sup_U V_t^0(x, U) \leq V_t(x) = \sup_U (V_t^0(x, U) + \lambda V_t^1(x, U)) \leq \\ &\leq \sup_U V_t^0(x, U) + \lambda \sup_U V_t^1(x, U) \leq x + \frac{\lambda + \gamma \mathbf{E} \max \{0, Y\}}{1-\gamma}. \end{aligned}$$

Аналогично, с учетом того, что  $\mathbf{E} \min \{0, Y\} / (1-\gamma) \leq V_t^2(x, U) \leq 0$ , получаем

$$\begin{aligned} x + \frac{\lambda \mathbf{E} \min \{0, Y\}}{1-\gamma} &\leq V_t(x) = \sup_U (V_t^0(x, U) + \lambda V_t^2(x, U)) \leq \\ &\leq \sup_U V_t^0(x, U) \leq x + \frac{\gamma \mathbf{E} \max \{0, Y\}}{1-\gamma}. \end{aligned}$$

Пусть справедливы следующие предположения:

- 1)  $\mathbf{E}|Y| < \infty$  для случайной величины  $Y$ , распределенной так же, как все  $\{Y_k\}$ ;
- 2) отображение  $U(x) \subseteq [0, x]$  замкнутоизначно и полунепрерывно сверху;
- 3) функция  $\bar{r}(x, u) = \mathbf{E}r(x, u, Y)$  полунепрерывна сверху по  $(x, u)$ ;
- 4)  $|r(x, u, y)| \leq C_0 + C_1|y| + C_2u + C_3x$  для некоторых чисел  $C_0, C_1, C_2, C_3 \geq 0$  и всех  $(x \geq 0, u \in U(x) \subseteq [0, x], y)$ .

Заметим, что условие 3 выполнено для полунепрерывной сверху по  $(x, u)$  функции  $r(x, u, y)$ , удовлетворяющей предположениям 1, 4. Условие 4 выполнено для липшицевых функций  $r(x, u, y)$ .

**Лемма 2** (граница для общих функций выигрыша). Пусть выполнены предположения 1–4, тогда

$$\begin{aligned} |V_t(x)| &\leq |V(x)| \leq (C_0 + C_1 \mathbf{E}|Y| + (C_2 + C_3)x) / (1-\gamma) + \\ &\quad + (C_2 + C_3)\gamma \mathbf{E} \max \{0, Y\} / (1-\gamma)^2. \end{aligned}$$

**Доказательство.** Очевидно, что для  $k < \tau$  в силу (1), (2) и предположения 2 имеет место

$$0 \leq U_k \leq X_k \leq X_{k-1} + \max \{0, Y_{k-1}\} \leq x + \sum_{s=0}^{k-1} \max \{0, Y_s\}$$

и, следовательно, ввиду предположения 4 имеем

$$\begin{aligned} |r(X_k, U_k, Y_k)| &\leq C_0 + C_1|Y_k| + C_2U_k + C_3X_k \leq C_0 + C_1|Y_k| + (C_2 + C_3)X_k \leq \\ &\leq C_0 + C_1|Y_k| + (C_2 + C_3)\left(x + \sum_{s=0}^{k-1} \max\{0, Y_s\}\right). \end{aligned}$$

Тогда

$$\begin{aligned} |V_t(x)| &\leq |V(x)| \leq \sup_{\{U: U_k \in \mathbf{U}(X_k)\}} \mathbf{E}\left[\sum_{k=0}^{\tau-1} \gamma^k |r(X_k, U_k, Y_k)|\right] \leq \\ &\leq \sup_{\{U: U_k \in \mathbf{U}(X_k)\}} \mathbf{E}\left[\sum_{k=0}^{\tau-1} \gamma^k \left(C_0 + C_1|Y_k| + (C_2 + C_3)\left(x + \sum_{s=0}^{k-1} \max\{0, Y_s\}\right)\right)\right] \leq \\ &\leq \left[\sum_{k=0}^{\infty} \gamma^k (C_0 + C_1 \mathbf{E}|Y| + (C_2 + C_3)(x + k \mathbf{E} \max\{0, Y\}))\right]. \end{aligned}$$

Учитывая, что  $\sum_{k=0}^{\infty} \gamma^k = 1/(1-\gamma)$  и  $\sum_{k=0}^{\infty} k\gamma^k = \gamma/(1-\gamma)^2$ , получаем утверждение леммы.

Рассмотрим рекуррентные соотношения (Беллмана)

$$\tilde{V}_t(x) = \sup_{u \in \mathbf{U}(x)} \{\mathbf{E}r(x, u, Y) + \gamma \mathbf{E}\tilde{V}_{t-1}(x - u + Y)\}, \quad \tilde{V}_{-1}(x) \equiv 0, \quad 0 \leq t \leq T < \infty. \quad (15)$$

Следующая лемма устанавливает границы для функций  $\tilde{V}_t(x)$ .

**Лемма 3.** Пусть выполнены предположения 1–4. Тогда функции  $\tilde{V}_t(x)$  (15) удовлетворяют следующим неравенствам:

$$\begin{aligned} |\tilde{V}_0(x)| &\leq C_0 + C_1 \mathbf{E}|Y| + (C_2 + C_3)x, \\ |\tilde{V}_t(x)| &\leq (1 + \gamma + \dots + \gamma^t)(C_0 + C_1 \mathbf{E}|Y| + (C_2 + C_3)x) + \\ &\quad + [(\gamma + \dots + \gamma^t) + (\gamma^2 + \dots + \gamma^t) + \dots + \gamma^t](C_2 + C_3) \mathbf{E} \max\{0, Y\}, \quad t \geq 1, \end{aligned}$$

и, значит, при  $0 < \gamma < 1$  выполнено

$$|\tilde{V}_t(x)| \leq (C_0 + C_1 \mathbf{E}|Y| + (C_2 + C_3)x)/(1-\gamma) + \gamma(C_2 + C_3) \mathbf{E} \max\{0, Y\}/(1-\gamma)^2.$$

Доказательство выполним по индукции. Для  $t = 0$  утверждение леммы выполнено,

$$\begin{aligned} |\tilde{V}_0(x)| &\leq \sup_{u \in \mathbf{U}(x)} \mathbf{E}|r(x, u, Y)| \leq \sup_{u \in [0, x]} \mathbf{E}(C_0 + C_1|Y| + C_2u + C_3x) \leq \\ &\leq C_0 + C_1 \mathbf{E}|Y| + (C_2 + C_3)x. \end{aligned}$$

Пусть утверждение леммы выполнено для  $t-1$ , докажем его для  $t$ . Действительно,

$$\begin{aligned} |\tilde{V}_t(x)| &\leq \sup_{u \in \mathbf{U}(x)} \{\mathbf{E}|r(x, u, Y)| + \gamma \mathbf{E}|\tilde{V}_{t-1}(x - u + Y)|\} \leq \sup_{u \in [0, x]} \{\mathbf{E}(C_0 + C_1|Y| + \\ &\quad + C_2u + C_3x) + \gamma(1 + \gamma + \dots + \gamma^{t-1})(C_0 + C_1 \mathbf{E}|Y| + (C_2 + C_3) \mathbf{E} \max\{0, x - u + Y\}) + \\ &\quad + \gamma[(\gamma + \dots + \gamma^{t-1}) + (\gamma^2 + \dots + \gamma^{t-1}) + \dots + \gamma^{t-1}](C_2 + C_3) \mathbf{E} \max\{0, Y\}\} \leq (C_0 + C_1 \mathbf{E}|Y| + \\ &\quad + (C_2 + C_3)x) + \gamma(1 + \gamma + \dots + \gamma^{t-1})(C_0 + C_1 \mathbf{E}|Y| + (C_2 + C_3)(x + \mathbf{E} \max\{0, Y\})) + \\ &\quad + \gamma[(\gamma + \dots + \gamma^{t-1}) + (\gamma^2 + \dots + \gamma^{t-1}) + \dots + \gamma^{t-1}](C_2 + C_3) \mathbf{E} \max\{0, Y\}, \end{aligned}$$

что и требовалось доказать.

Следующая теорема формулирует достаточные условия совпадения функций  $V_t(x)$  (8) и  $\tilde{V}_t(x)$  (15).

**Теорема 1** (свойства функций (15) и существование оптимальных управлений при конечном временном горизонте  $T < \infty$ ). Пусть выполнены предположения 1–4. Тогда функции  $\tilde{V}_t(x)$  (15) совпадают с  $V_t(x)$  (8) и полунепрерывны сверху по  $x$ . Кроме того, функции  $\mathbf{E}\tilde{V}_{t-1}(x-u+Y)$  полунепрерывны сверху по  $(x, u)$ , а  $U_t = u_{T-t}^*(x^t)$ , где

$$u_t^*(x) = \max \{v \in \arg \max_{u \in \mathbf{U}(x)} \{\mathbf{E}r(x, u, Y) + \gamma \mathbf{E}\tilde{V}_{t-1}(x-u+Y)\}\} \quad (16)$$

корректно определены и измеримы (по Борелю), являются оптимальными управлениями (решениями) для задач (8).

**Доказательство.** В предположениях 3, 4 функция  $\mathbf{E}r(x, u, Y)$  полунепрерывна сверху по  $(x, u)$  в силу леммы Фату [29, гл. II, §6, теорема 2(b)]. Тогда ввиду полунепрерывности сверху отображения  $\mathbf{U}(\cdot)$  функция максимума

$$\tilde{V}_0(x) = \sup_{u \in \mathbf{U}(x)} \mathbf{E}r(x, u, Y) = \max_{u \in \mathbf{U}(x)} \mathbf{E}r(x, u, Y) < +\infty$$

полунепрерывна сверху по  $x \geq 0$  [28, гл. 3, разд. 1, предложение 21], отображение  $U_0^*(x) = \arg \max_{u \in \mathbf{U}(x)} \mathbf{E}r(x, u, Y)$  замкнутозначно и измеримо, а селектор  $u_0^*(x) = \max \{u \in U_0^*(x)\}$  является измеримой (по Борелю) функцией [30, sec. 14].

Покажем, что все  $\tilde{V}_t(x)$  полунепрерывны сверху по  $x$ , а  $u_t^*(x)$  являются измеримыми оптимальными управлениями для задач (8). Как видно, утверждение выполнено для  $t = 0$ . Действуя по индукции, предположим, что функция  $\tilde{V}_{t-1}(x)$  полунепрерывна сверху. Тогда функция  $\tilde{V}_{t-1}(x-u+y)$  полунепрерывна сверху по  $(x, u)$  при каждом  $y$ , а в силу предположения 4 и леммы 2  $\tilde{V}_{t-1}(x') \leq A_{t-1} + B_{t-1}x'$ , где  $A_{t-1} > 0$ ,  $B_{t-1} > 0$  — некоторые константы, поэтому

$$\begin{aligned} \tilde{V}_{t-1}(x-u+y) &\leq A_{t-1} + B_{t-1} \max \{0, x-u+y\} \leq \\ &\leq A_{t-1} + B_{t-1} \max \{0, x - \inf_{u \in \mathbf{U}(x)} u\} + B_{t-1} \max \{0, y\}, \\ \mathbf{E}\tilde{V}_{t-1}(x-u+Y) &\leq A_{t-1} + B_{t-1} \max \{0, x - \inf_{u \in \mathbf{U}(x)} u\} + B_{t-1} \mathbf{E} \max \{0, Y\}. \end{aligned}$$

В силу леммы Фату [29, гл. II, §6, теорема 2(b)] функция  $\mathbf{E}\tilde{V}_{t-1}(x-u+Y)$  полунепрерывна сверху по  $(x, u)$ . Отсюда следует [28, гл. 3, разд. 1, предложение 21], что функция максимума  $\tilde{V}_t(x) = \sup_{u \in \mathbf{U}(x)} \{\mathbf{E}r(x, u, Y) + \gamma \mathbf{E}\tilde{V}_{t-1}(x-u+Y)\}$  полу- непрерывна сверху по  $x$ , отображение

$$U_t^*(x) = \arg \max_{u \in \mathbf{U}(x)} \{\mathbf{E}r(x, u, Y) + \gamma \mathbf{E}\tilde{V}_{t-1}(x-u+Y)\}$$

замкнутозначно и измеримо, а функция  $u_t^*(x) = \max \{u \in U_t^*(x)\}$  измерима по Борелю (следует из утверждений [30, sec. 14.3, 14.31, 14.32, 14.37]). Теперь, согласно [4, Corollary 1.2], функции  $V_t(x)$  (8) совпадают с  $\tilde{V}_t(x)$  (15) и последовательность  $U^* = \{u_{T-t}^*(X_t), 0 \leq t \leq T\}$  является оптимальным управлением для задач (8),

$$V_t(x) = V_t(x, U^*) = \mathbf{E} \sum_{k=0}^{\tau^*-1} \gamma^k r(x, u_{T-t}^*(X_k), Y_k), \quad 0 \leq t \leq T,$$

где  $\tau^*$  — момент остановки (разорения) процесса (2) с  $U^* = \{U_k^* = u_{T-t}^*(X_k)\}$ .

Теорема доказана.

Исследуем случай бесконечного временного горизонта  $T = \infty$ . Рассмотрим уравнение (Беллмана)

$$\begin{aligned} V(x) &= \sup_{u \in \mathbf{U}(x)} \{\mathbf{E}r(x, u, Y) + \gamma \mathbf{E}V(f(x, u, Y))\} = \\ &= \sup_{u \in \mathbf{U}(x)} \{\mathbf{E}r(x, u, Y) + \gamma \mathbf{E}V(x-u+Y)\}. \end{aligned} \quad (17)$$

Следующие утверждения устанавливают существование и единственность линейно ограниченного полуценерывного сверху решения  $V(\cdot)$  уравнения Беллмана (17), а также существование оптимальных позиционных управлений  $u^*(x)$  для случая, когда функция вознаграждения  $r(x, u, y)$  и сама функция Беллмана  $V(x)$  не являются равномерно ограниченными, а ограничены линейно. Тогда стандартная норма  $\|V\| = \sup_{x \geq 0} V(x) = +\infty$  теряет смысл и теоремы о неподвижной точке в базахом пространстве ограниченных функций неприменимы для обоснования существования и единственности решения уравнения (17).

Уравнение (17) обычно решается методом последовательных приближений (15), поэтому сначала в сформулированной ниже лемме отметим, что последовательность  $\{\tilde{V}_k(\cdot)\}$  сходится к некоторой функции  $V(\cdot)$ , а затем в последующей теореме (о свойствах функции Беллмана) покажем, что эта предельная функция является единственным решением уравнения (17).

**Лемма 4.** В предположениях 1–4 последовательность (15) равномерно сходится на каждом интервале  $[0, x_{\max}]$  к некоторой функции  $V(x)$  и справедливы оценки

$$\begin{aligned} \sup_{x \in [0, x_{\max}]} |V(x) - \tilde{V}_t(x)| &\leq \frac{C_0 + C_1 \mathbf{E}|Y| + (C_2 + C_3)x_{\max}}{1-\gamma} \gamma^{t+1} + \\ &+ \frac{(C_2 + C_3)\mathbf{E} \max \{0, Y\}(\gamma + (1-\gamma)(t+1))}{(1-\gamma)^2} \gamma^{t+1}. \end{aligned} \quad (18)$$

**Доказательство.** Действительно, в условиях теоремы 1 в силу оптимальности управлений

$$\begin{aligned} \tilde{V}_{t+1}(x) &= \max_{u \in \mathbf{U}(x)} \{\mathbf{E}r(x, u, Y) + \gamma \mathbf{E}\tilde{V}_t(x - u + Y)\} = \\ &= \mathbf{E}r(x, u_{t+1}^*(x), Y) + \gamma \mathbf{E}\tilde{V}_t(x - u_{t+1}^*(x) + Y), \\ \tilde{V}_t(x) &= \max_{u \in \mathbf{U}(x)} \{\mathbf{E}r(x, u, Y) + \gamma \mathbf{E}\tilde{V}_{t-1}(x - u + Y)\} \geq \\ &\geq \mathbf{E}r(x, u_{t+1}^*(x), Y) + \gamma \mathbf{E}\tilde{V}_{t-1}(x - u_{t+1}^*(x) + Y), \end{aligned}$$

поэтому

$$\begin{aligned} \tilde{V}_{t+1}(x) - \tilde{V}_t(x) &\leq \gamma \mathbf{E}[\tilde{V}_t(x - u_{t+1}^*(x) + Y) - \tilde{V}_{t-1}(x - u_{t+1}^*(x) + Y)] \leq \\ &\leq \gamma \mathbf{E} \sup_{0 \leq x' \leq x + \max \{0, Y\}} |\tilde{V}_t(x') - \tilde{V}_{t-1}(x')|. \end{aligned}$$

Аналогично

$$\begin{aligned} \tilde{V}_{t+1}(x) &= \max_{u \in \mathbf{U}(x)} \{\mathbf{E}r(x, u, Y) + \gamma \mathbf{E}\tilde{V}_t(x - u + Y)\} \geq \\ &\geq \mathbf{E}r(x, u_t^*(x), Y) + \gamma \mathbf{E}\tilde{V}_t(x - u_t^*(x) + Y), \\ \tilde{V}_t(x) &= \max_{u \in \mathbf{U}(x)} \{\mathbf{E}r(x, u, Y) + \gamma \mathbf{E}\tilde{V}_{t-1}(x - u + Y)\} = \\ &= \mathbf{E}r(x, u_t^*(x), Y) + \gamma \mathbf{E}\tilde{V}_{t-1}(x - u_t^*(x) + Y), \end{aligned}$$

поэтому

$$\begin{aligned} \tilde{V}_{t+1}(x) - \tilde{V}_t(x) &\geq \gamma \mathbf{E}[\tilde{V}_t(x - u_t^*(x) + Y) - \tilde{V}_{t-1}(x - u_t^*(x) + Y)] = \\ &= -\gamma \mathbf{E} \sup_{0 \leq x' \leq x + \max \{0, Y\}} |\tilde{V}_t(x') - \tilde{V}_{t-1}(x')|. \end{aligned}$$

Следовательно,

$$|\tilde{V}_{t+1}(x) - \tilde{V}_t(x)| \leq \gamma \mathbf{E} \sup_{0 \leq x' \leq x + \max \{0, Y\}} |\tilde{V}_t(x') - \tilde{V}_{t-1}(x')|$$

и, итерируя по  $t$ , получаем оценку

$$|\tilde{V}_{t+1}(x) - \tilde{V}_t(x)| \leq \gamma^{t+1} \mathbf{E} \sup_{0 \leq x' \leq x+(t+1)\max\{0, Y\}} |\tilde{V}_0(x')|.$$

Напомним, что  $|\tilde{V}_0(x')| = \mathbf{E}|r(x, u, Y)| \leq C_0 + C_1 \mathbf{E}|Y| + (C_2 + C_3)x'$ , поэтому

$$|\tilde{V}_{t+1}(x) - \tilde{V}_t(x)| \leq \gamma^{t+1} (C_0 + C_1 \mathbf{E}|Y| + (C_2 + C_3)(x + (t+1)\mathbf{E}\max\{0, Y\})).$$

Таким образом, последовательность  $\{\tilde{V}_t(x)\}$  фундаментальна, сходится к некоторому пределу  $V(x)$  и имеет место оценка

$$\begin{aligned} |V(x) - \tilde{V}_t(x)| &\leq \sum_{k=t}^{\infty} |\tilde{V}_{k+1}(x) - \tilde{V}_k(x)| \leq \\ &\leq \sum_{k=t}^{\infty} \gamma^{k+1} (C_0 + C_1 \mathbf{E}|Y| + (C_2 + C_3)(x + (k+1)\mathbf{E}\max\{0, Y\})) \leq \\ &\leq \frac{C_0 + C_1 \mathbf{E}|Y| + (C_2 + C_3)x}{1-\gamma} \gamma^{t+1} + (C_2 + C_3) \mathbf{E}\max\{0, Y\} \sum_{k=t}^{\infty} (k+1)\gamma^{k+1}. \end{aligned}$$

Учитывая, что  $\sum_{k=t}^{\infty} (k+1)\gamma^{k+1} = \left( \frac{\gamma}{(1-\gamma)^2} + \frac{t+1}{1-\gamma} \right) \gamma^{t+1}$ , окончательно получаем оценку

$$\begin{aligned} |V(x) - \tilde{V}_t(x)| &\leq \frac{C_0 + C_1 \mathbf{E}|Y| + (C_2 + C_3)x}{1-\gamma} \gamma^{t+1} + \\ &+ (C_2 + C_3) \mathbf{E}\max\{0, Y\} \left( \frac{\gamma}{(1-\gamma)^2} + \frac{t+1}{1-\gamma} \right) \gamma^{t+1} = \\ &= \frac{C_0 + C_1 \mathbf{E}|Y| + (C_2 + C_3)x}{1-\gamma} \gamma^{t+1} + \frac{(C_2 + C_3) \mathbf{E}\max\{0, Y\}(\gamma + (1-\gamma)(t+1))}{(1-\gamma)^2} \gamma^{t+1}, \end{aligned}$$

откуда следует равномерная оценка (18). Лемма доказана.

**Теорема 2** (свойства функции Беллмана и существование оптимальных управлений при бесконечном временном горизонте  $T = \infty$ ). В предположениях 1–4 предел  $V(x) = \lim_{t \rightarrow \infty} \tilde{V}_t(x)$  существует, где  $\tilde{V}_t(x)$  определены в (15), и является полунепрерывной сверху функцией. Функция  $V(x)$  — единственное полу-непрерывное сверху решение уравнения (17), удовлетворяющее условию  $|V(x)| \leq A + Bx$  для всех  $x \geq 0$ , где  $A \geq 0, B \geq 0$  — произвольные константы. Функция  $\varphi_x(u) = \mathbf{E}V(x - u + Y)$  полунепрерывна сверху, экстремальное отображение

$$U^*(x) = \arg \max_{u \in \mathbf{U}(x)} \{\mathbf{E}r(x, u, Y) + \gamma \mathbf{E}V(x - u + Y)\} \quad (19)$$

полунепрерывно сверху, а функция

$$u^*(x) = \max \{u \in U^*(x)\} \quad (20)$$

корректно определена, измерима по Борелю и является решением задачи оптимального управления (9).

**Доказательство.** Докажем, что  $V(x)$  полунепрерывна сверху. В силу леммы 4 последовательность функций  $\{\tilde{V}_t(\cdot)\}$  равномерно на каждом компакте сходится к некоторой предельной функции  $V(\cdot)$ . Так как по теореме 1 все функции  $\tilde{V}_t(\cdot)$  полунепрерывны сверху, их равномерный предел  $V(\cdot)$  также полунепрерывна сверху функция.

Покажем, что предел  $V(\cdot)$  удовлетворяет уравнению Беллмана (17). Для каждого фиксированного  $x$  рассмотрим функции

$$v_{t-1,x}(u) = \mathbf{E}r(x, u, Y) + \gamma \mathbf{E}\tilde{V}_{t-1}(x - u + Y), \quad u \in \mathbf{U}(x),$$

$$v_x(u) = \mathbf{E}r(x, u, Y) + \gamma \mathbf{E}V(x - u + Y), \quad u \in \mathbf{U}(x).$$

В силу теоремы 1 функции  $v_{t-1,x}(u)$  полунепрерывны сверху по  $u$ . Кроме того, они равномерно сходятся к (полунепрерывной сверху) функции  $v_x(u)$  на компакте  $\mathbf{U}(x)$ , а именно, в силу (18) для  $u \in \mathbf{U}(x)$  имеет место

$$\begin{aligned} |v_x(u) - v_{t-1,x}(u)| &\leq \gamma \mathbf{E}|V(x - u + Y) - \tilde{V}_{t-1}(x - u + Y)| \leq \\ &\leq \frac{C_0 + C_1 \mathbf{E}|Y| + (C_2 + C_3)(x + \mathbf{E} \max \{0, Y\})}{1 - \gamma} \gamma^{t+1} + \\ &+ \frac{(C_2 + C_3)\mathbf{E} \max \{0, Y\}(\gamma + (1 - \gamma)(t+1))}{(1 - \gamma)^2} \gamma^{t+1}, \end{aligned}$$

поэтому

$$\begin{aligned} V(x) &= \lim_{t \rightarrow \infty} \tilde{V}_t(x) = \lim_{t \rightarrow \infty} \sup_{u \in \mathbf{U}(x)} v_{t-1,x}(u) = \sup_{u \in \mathbf{U}(x)} \lim_{t \rightarrow \infty} v_{t-1,x}(u) = \\ &= \sup_{u \in \mathbf{U}(x)} v_x(u) = \sup_{u \in \mathbf{U}(x)} [\mathbf{E}r(x, u, Y) + \gamma \mathbf{E}V(x - u + Y)]. \end{aligned}$$

Таким образом, полунепрерывная сверху функция  $V(x)$  удовлетворяет уравнению Беллмана (17) и существует измеримая [30, Sec. 14] функция  $u^*(x)$  (20).

Докажем единственность построенного решения  $V(x)$  уравнения (17). Пусть существует еще одно решение  $\tilde{V}(\cdot)$  такое, что  $|\tilde{V}(x)| \leq A + Bx$ , и соответствующее оптимальное управление  $\tilde{u}(\cdot)$ . Имеем

$$\begin{aligned} V(x) &= \sup_{u \in \mathbf{U}(x)} \{\mathbf{E}r(x, u, Y_0) + \gamma \mathbf{E}V(x - u + Y_0)\} = \\ &= \mathbf{E}r(x, u^*(x), Y_0) + \gamma \mathbf{E}V(x - u^*(x) + Y_0), \\ \tilde{V}(x) &= \sup_{u \in \mathbf{U}(x)} \{\mathbf{E}r(x, u, Y_0) + \gamma \mathbf{E}\tilde{V}(x - u + Y_0)\} = \\ &= \mathbf{E}r(x, \tilde{u}(x), Y_0) + \gamma \mathbf{E}\tilde{V}(x - \tilde{u}(x) + Y_0). \end{aligned}$$

Отсюда получаем

$$\begin{aligned} V(x) - \tilde{V}(x) &\leq \gamma \mathbf{E}(V(x - u^*(x) + Y_0) - \tilde{V}(x - u^*(x) + Y_0)) \leq \\ &\leq \gamma \mathbf{E} \sup_{0 \leq x' \leq x + \max \{0, Y_0\}} |V(x') - \tilde{V}(x')|, \\ \tilde{V}(x) - V(x) &\leq \gamma \mathbf{E}(\tilde{V}(x - \tilde{u}(x) + Y_0) - V(x - \tilde{u}(x) + Y_0)) \leq \\ &\leq \gamma \mathbf{E} \sup_{0 \leq x' \leq x + \max \{0, Y_0\}} |\tilde{V}(x') - V(x')|, \\ |V(x) - \tilde{V}(x)| &\leq \gamma \mathbf{E} \sup_{0 \leq x' \leq x + \max \{0, Y_0\}} |V(x') - \tilde{V}(x')|. \end{aligned}$$

Для любого  $t$  имеет место

$$\begin{aligned} |V(x) - \tilde{V}(x)| &\leq \gamma \mathbf{E} \sup_{0 \leq x' \leq x + \max \{0, Y_0\}} |V(x') - \tilde{V}(x')| \leq \\ &\leq \gamma^t \mathbf{E} \sup_{0 \leq x' \leq x + \sum_{k=0}^{t-1} \max \{0, Y_k\}} |V(x') - \tilde{V}(x')| \leq \\ &\leq \gamma^t \mathbf{E} \sup_{0 \leq x' \leq x + \sum_{k=0}^{t-1} \max \{0, Y_k\}} |V(x')| + \gamma^t \mathbf{E} \sup_{0 \leq x' \leq x + \sum_{k=0}^{t-1} \max \{0, Y_k\}} |\tilde{V}(x')|. \end{aligned}$$

Учитывая, что по лемме 3

$$|V(x')| \leq (C_0 + C_1 \mathbf{E}|Y| + (C_2 + C_3)(x' + \mathbf{E} \max \{0, Y\})) / (1 - \gamma) +$$

$$+ (C_2 + C_3) \gamma \mathbf{E} \max \{0, Y\} / (1 - \gamma)^2,$$

а по предположению  $|\tilde{V}(x')| \leq A + Bx'$ , получаем

$$\begin{aligned} |V(x) - V'(x)| &\leq \gamma^t (C_0 + C_1 \mathbf{E}|Y| + (C_2 + C_3)(x + t \mathbf{E} \max \{0, Y\})) / (1 - \gamma) + \\ &+ \gamma^t (C_2 + C_3) \gamma \mathbf{E} \max \{0, Y\} / (1 - \gamma)^2 + (A + B(x + t \mathbf{E} \max \{0, Y\})) \gamma^t \rightarrow 0, \end{aligned}$$

что и требовалось доказать.

Заметим, что для любого управления  $U' = \{U'_t \in \mathbf{U}(x)\}$  и соответствующей траектории  $\{X'_t = X'_{t-1} - U'_{t-1} + Y_t, X'_0 = x, U'_{t-1} \in \mathbf{U}(X'_{t-1}), t \geq 0\}$  для условных математических ожиданий  $\bar{r}(X'_k, U'_k) = \mathbf{E}\{r(X'_k, U'_k, Y_k) | X'_k, U'_k\}$  выполнено следующее условие [4, (1.3), Corollary 1.3]:  $\lim_{t \rightarrow \infty} \sup_{U'} \mathbf{E} \sum_{k=t}^{\infty} |\bar{r}(X'_k, U'_k)| \gamma^k = 0$ .

Действительно,

$$\begin{aligned} \sup_{U'} \mathbf{E} \sum_{k=t}^{\infty} |\mathbf{E}\{r(X'_k, U'_k, Y_k) | X'_k, U'_k\}| \gamma^k &\leq \sup_{U'} \mathbf{E} \sum_{k=t}^{\infty} |r(X'_k, U'_k, Y_k)| \gamma^k = \\ &= \sup_{U'} \mathbf{E} \sum_{k=t}^{\tau-1} |r(X'_k, U'_k, Y_k)| \gamma^k = \gamma^t \sup_{U'} \mathbf{E} \sum_{k=t}^{\tau-1} |r(X'_k, U'_k, Y_k)| \gamma^{k-t} \leq \\ &\leq \gamma^t \sup_{U'} \mathbf{E} \sum_{k=t}^{\tau-1} (C_0 + C_1 |Y_k| + C_2 U'_k + C_3 X'_k) \gamma^{k-t} \leq \\ &\leq \gamma^t \sup_{U'} \mathbf{E} \sum_{k=t}^{\tau-1} (C_0 + C_1 |Y_k| + (C_2 + C_3) X'_k) \gamma^{k-t} \leq \\ &\leq \gamma^t \sup_{U'} \mathbf{E} \sum_{k=t}^{\tau-1} (C_0 + C_1 |Y_k| + (C_2 + C_3) (X'_t + \sum_{s=0}^{k-1} \max \{0, Y_s\})) \gamma^{k-t} \leq \\ &\leq \frac{C_0 + C_1 \mathbf{E}|Y|}{1 - \gamma} \gamma^t + \gamma^t (C_2 + C_3) \sup_{U'} \mathbf{E} X'_t \sum_{k=t}^{\infty} \gamma^{k-t} + \\ &+ (C_2 + C_3) \mathbf{E} \max \{0, Y\} \sum_{k=t}^{\infty} k \gamma^k \leq \frac{C_0 + C_1 \mathbf{E}|Y|}{1 - \gamma} \gamma^t + \\ &+ \frac{(C_2 + C_3)(x + t \mathbf{E} \max \{0, Y\})}{1 - \gamma} \gamma^t + (C_2 + C_3) \mathbf{E} \max \{0, Y\} \sum_{k=t}^{\infty} k \gamma^k \rightarrow 0. \end{aligned}$$

Поэтому в силу [4, Corollary 1.3]  $u^*(x)$  является оптимальным управлением задачи (9) таким, что

$$V(x) = \sup_{\{U: U_k \in \mathbf{U}(X_k)\}} V(x, U) = V(x, U^*) = \mathbf{E} \sum_{t=0}^{\tau^*-1} \gamma^t r(X_t^*, u^*(X_t^*), Y_t),$$

где  $\{X_{t+1}^* = X_t^* - u^*(X_t^*) + Y_t, X_0^* = x, 0 \leq t < \tau^*\}$ ,  $\tau^*$  — момент остановки (разорения) этого процесса.

Теорема доказана.

#### ДРУГИЕ (НЕ ДИВИДЕНДНЫЕ) ФУНКЦИИ ВЫИГРЫША БЕЛЛМАНА

В работах [1–4] для задачи оптимального управления дивидендами (4) установлен барьерный характер оптимальных управлений, т.е.  $u^*(x) = \max \{0, x - b\}$  для некоторого  $b \geq 0$ . Заметим, что при условии  $\Pr\{Y < 0\} > 0$  для любой барьерной стратегии  $\tilde{u}(x) = \max \{0, x - b\}$  вероятность разорения процесса  $\{\tilde{X}_{t+1} = \tilde{X}_t - \tilde{u}(\tilde{X}_t) + Y_t, \tilde{X}_0 \in [0, b]\}$  равна единице. Поэтому наряду с барьерной стратегией целесообразно рассматривать другие типы стратегий, например барьерно-пропорциональные стратегии  $\tilde{u}(x) = \max \{0, \alpha(x - b)\}$ , где  $b \geq 0, 0 < \alpha \leq 1$ . В этом случае траектория  $\{X_t\}$  не превосходит кусочно-линейного барьера  $B(x, \alpha, b) = \min \{x, \alpha b + (1 - \alpha)x\}$ . В работах [31, 32] рассматривается нелинейный

дивидендный барьер  $B(x)$ , соответствующий управлению  $u(x) = \max\{0, x - B(x)\}$ . Однако в общем случае оптимальные дивидендные стратегии могут иметь более сложную структуру (последовательность барьеров и другие [5, section 1.5; 6]. Если параметрическая форма дивидендного барьера выбрана, то задача может состоять в поиске оптимальных параметров барьера.

Для любого фиксированного непрерывного управления  $\tilde{u}(x) = U(x) \subseteq [0, x]$  соответствующие значения средних дисконтированных дивидендов  $\tilde{V}^0(x) = E \sum_{t=0}^{\tilde{\tau}-1} \gamma^t \tilde{u}(x_t)$  и среднего дисконтированного времени жизни  $\tilde{V}^1(x) = E \sum_{y=0}^{\tilde{\tau}(x)-1} \gamma^y = (1 - E \gamma^{\tilde{\tau}(x)}) / (1 - \gamma)$  в силу теоремы 2 могут быть найдены из следующих уравнений:

$$\tilde{V}^0(x) = \tilde{u}(x) + \gamma E \tilde{V}^0(f(x, \tilde{u}(x), Y)) = \tilde{u}(x) + \gamma E \tilde{V}^0(x - \tilde{u}(x) + Y), \quad (21)$$

$$\tilde{V}^1(x) = 1 + \gamma E \tilde{V}^1(f(x, \tilde{u}(x), Y)) = 1 + \gamma E \tilde{V}^1(x - \tilde{u}(x) + Y). \quad (22)$$

Еще одним показателем риска для страховой компании является средний (дисконтированный) дефицит резервов в момент разорения:

$$\tilde{V}^2(x) = E \sum_{k=0}^{\tilde{\tau}(x)-1} \gamma^k r_2(\tilde{x}_k, \tilde{u}(\tilde{x}_k), Y_k) = -E \sum_{k=0}^{\tilde{\tau}(x)-1} \gamma^k \min\{0, \tilde{x}_k - \tilde{u}(\tilde{x}_k) + Y_k\}.$$

При  $u(x) \leq x$  имеет место  $0 \leq r_2(\tilde{x}_k, \tilde{u}(\tilde{x}_k), Y) = -\min\{0, \tilde{x}_k - \tilde{u}(\tilde{x}_k) + Y\} \leq -\min\{0, Y\}$ . Этот показатель удовлетворяет следующему уравнению (при  $E \min\{0, Y\} > -\infty$ ):

$$\tilde{V}^2(x) = E(-\min\{0, x - \tilde{u}(x) + Y\}) + \gamma E \tilde{V}^2(x - \tilde{u}(x) + Y). \quad (23)$$

Важным показателем работы страховой компании является (дисконтированная при  $\gamma < 1$ ) вероятность разорения  $\tilde{V}^3(x) = E \sum_{k=0}^{\tilde{\tau}-1} \gamma^k \mathbf{1}_{\{\tilde{x}_k - \tilde{u}(\tilde{x}_k) + \tilde{x}_k < 0\}}$ , рассматриваемая как функция начального капитала  $x$  при управлениях  $\tilde{u}(\cdot)$ , где

$$\{\tilde{x}_t = \tilde{x}_{t-1} - \tilde{u}(\tilde{x}_{t-1}) + Y_t, \tilde{x}_0 = x, t = 0, 1, \dots, \tilde{\tau}(x)\},$$

$$\tilde{\tau}(x) = \sup\{t \in [0, \infty): \min_{0 \leq t' \leq t} \tilde{x}_{t'} \geq 0\}.$$

Функция  $\tilde{V}^3(x)$  удовлетворяет уравнению

$$\tilde{V}^3(x) = E \mathbf{1}_{\{x - \tilde{u}(x) + Y < 0\}} + \gamma E \tilde{V}^3(x - \tilde{u}(x) + Y). \quad (24)$$

Если процесс рассматривается на конечном интервале времени, то необходимо ввести функции вероятности разорения  $\tilde{V}_t^3(x)$  за  $t$  временных интервалов при начальном состоянии процесса  $x$ . Эти функции связаны соотношениями

$$\tilde{V}_t^3(x) = E \mathbf{1}_{\{x - \tilde{u}(x) + Y < 0\}} + \gamma E \tilde{V}_{t-1}^3(x - \tilde{u}(x) + Y), \quad \tilde{V}_{-1}^3(x) = 0, \quad t = 0, 1, \dots$$

Поскольку рассматриваемая задача стохастического оптимального управления дивидендами многокритериальна, то для данного  $x$  целесообразно построить множество точек  $\{(\tilde{V}^0(x, \lambda), \tilde{V}^i(x, \lambda)), \lambda \geq 0\}$ ,  $i = 1, 2, 3$ , в координатах «доходность–риски», где параметр  $\lambda$  играет роль весового коэффициента свертки критериев в (14). Для этого необходимо решить для каждого  $\lambda \geq 0$  интегральное уравнение Беллмана (17) с  $r(x, u, y) = u + \lambda r_i(x, u, y)$  и найти соответствующую функцию оптимального управления  $\tilde{u}(x, \lambda)$  (20), затем для найденного управления  $\tilde{u}(x, \lambda)$  решить интегральные уравнения для дивидендов  $\tilde{V}^0(x)$  (21), времени жизни  $\tilde{V}^1(x)$  (22), дефицита в момент разорения  $\tilde{V}^2(x)$  (23) и вероятности разорения  $\tilde{V}^3(x)$  (24). Для реализации этого плана важно эффективно решать интегральные уравнения (17), (21)–(24).

## МЕТОД ПОСЛЕДОВАТЕЛЬНЫХ ПРИБЛИЖЕНИЙ ДЛЯ РЕШЕНИЯ УРАВНЕНИЙ БЕЛЛМАНА

Приближенные численные методы решения однокритериальных задач стохастического оптимального управления (с ограниченными функциями Беллмана) изучаются в [33].

Численно уравнения (17), (21)–(23) можно решать методом последовательных приближений:

$$V_k(x) = \max_{u \in U(x)} \{Er(x, u, Y) + \gamma EV_{k-1}(x - u + Y)\}, V_{-1}(x) = 0, k = 0, 1, \dots, \quad (25)$$

$$V_k^0(x) = \tilde{u}(x) + \gamma EV_{k-1}^0(x - \tilde{u}(x) + Y), V_{-1}^0(x) = 0, k = 0, 1, \dots, \quad (26)$$

$$V_k^1(x) = 1 + \gamma EV_{k-1}^1(x - \tilde{u}(x) + Y), V_{-1}^1(x) = 0, k = 0, 1, \dots, \quad (27)$$

$$V_k^2(x) = E(-\min\{0, x - \tilde{u}(x) + Y\}) + \gamma EV_{k-1}^2(x - \tilde{u}(x) + Y),$$

$$V_{-1}^2(x) = 0, k = 0, 1, \dots, \quad (28)$$

$$\tilde{V}_t^3(x) = E\mathbf{1}_{\{x - \tilde{u}(x) + Y < 0\}} + \gamma E\tilde{V}_{t-1}^3(x - \tilde{u}(x) + Y), V_{-1}^3(x) = 0, k = 0, 1, \dots \quad (29)$$

Итерационный метод (25) при условиях 1–4 и  $\gamma < 1$  сходится в силу теоремы 2 и оценки (18) леммы 4. Аналогичные оценки и равномерная сходимость при  $\gamma < 1$  на любом конечном интервале значений  $x \in [0, x_{\max}]$  имеют место для последовательностей  $\{V_k^i(x), k = 0, 1, \dots\}$ ,  $i = 0, 1, 2, 3$  (см. (26)–(29)), при любом фиксированном непрерывном управлении  $\tilde{u}(x) \in [0, x]$  в силу теоремы 2 (для  $U(x) = \tilde{u}(x)$ ).

При  $\gamma = 1$  последовательности  $\{V_t^i(\cdot), t = 0, 1, \dots\}$ ,  $i = 2, 3$ , ограничены и монотонно сходятся к своим пределам  $\{V^i(\cdot)\}$ , но сходимость может быть более медленной, чем (18), и неравномерной. В этом случае исследование сходимости требует более тонкого анализа [21, 22], поскольку операторы в правой части рекуррентных соотношений (28), (29) могут быть не сжимающими.

Следующая лемма устанавливает равномерную сходимость последовательности управлений (16) к экстремальному отображению (19).

**Лемма 5** (сходимость последовательности управлений). В условиях теоремы 2 последовательность управлений (16) равномерно сходится к экстремальному отображению (19), а именно, для любой последовательности точек  $\{x_t \rightarrow x, t = 0, 1, \dots\}$  множество всех предельных точек последовательности  $\{u_t(x_t), t = 0, 1, \dots\}$  принадлежит  $U^*(x)$ .

**Доказательство.** Обозначим

$$v_{t-1}(x, u) = Er(x, u, Y) + \gamma E\tilde{V}_{t-1}(x - u + Y),$$

$$v(x, u) = Er(x, u, Y) + \gamma EV(x - u + Y).$$

Как отмечалось при доказательстве теоремы 2, функции  $v_{t-1}(x, u)$ ,  $\tilde{V}_t(x)$  равномерно сходятся соответственно к функциям  $v(x, u)$ ,  $V(x)$ . Пусть  $\{x_t \rightarrow x\}$  и  $\{u_{t_k}(x_{t_k}) \rightarrow u, k = 1, 2, \dots\}$ . Так как  $u_{t_k}(x_{t_k}) \in U_{t_k}^*(x_{t_k})$ , имеем  $u_{t_k}(x_{t_k}) \in [0, x_{t_k}]$  и  $\tilde{V}_{t_k}(x_{t_k}) = v_{t_k-1}(x_{t_k}, u_{t_k})$ . В силу свойств равномерной сходимости отсюда получаем, что  $u \in [0, x]$  и  $\tilde{V}(x) = v_{t-1}(x, u)$ , т.е.  $u \in U^*(x)$ , что и требовалось доказать.

## АППРОКСИМАЦИЯ ПАРЕТО-ОПТИМАЛЬНЫХ МНОЖЕСТВ В ЗАДАЧЕ ОПТИМИЗАЦИИ ДИВИДЕНДОВ

В данном разделе приведены некоторые результаты численных экспериментов по аппроксимации парето-оптимального множества задачи оптимального управления дивидендами по критериям доходность–риск. Сначала методом по-

следовательных приближений экспериментально исследовалась структура оптимальных управлений задач (8), (9) для свертки критериев (14). Оказалось, что в широком диапазоне изменения параметров  $0 \leq \lambda \leq 100$  и  $0,5 < \gamma < 1$  оптимальные управлении имеют барьерный характер. Затем строились аппроксимации парето-оптимальных границ для множеств  $\{(V_T^0(x, \tilde{u}) / (cT), V_T^1(x, \tilde{u}) / T)\}$  и  $\{(V_T^0(x, \tilde{u}) / (cT), V_T^3(x, \tilde{u}))\}$ , где управлении имеют барьерно-пропорциональный вид  $\tilde{u}(x) = \alpha \max\{0, x - b\}$ ,  $\alpha \in (0, 1]$ ,  $b \in [0, x]$ , при некотором фиксированном начальном капитале  $x$  и горизонте планирования  $T$ . Здесь нормирующий множитель  $cT$  имеет смысл совокупной страховой премии, полученной за время  $T$ . Величины  $V_T^0(x, \tilde{u})$ ,  $V_T^1(x, \tilde{u})$  и  $V_T^3(x, \tilde{u})$  найдены итерационно согласно соотношениям соответственно (26), (27) и (29). На рис. 1 показаны графики расчетов для начального капитала  $x = 10$ , горизонта планирования  $T = 100$ , страховой премии  $c = 1$ , и случайных требований  $Y \in \{1, -1\}$  с вероятностями  $\{0.6, 0.4\}$ . Вопросы построения распределения случайной величины  $Y$  на основе данных страховой статистики рассмотрены в [23, 34].

Вычислительные эксперименты проведены с помощью системы Matlab 8.2 на персональном компьютере конфигурации Intel Core i5 3570K (на штатной частоте) 8Gb RAM. Время построения графиков не превосходило нескольких секунд.

На рис. 1 представлены примеры аппроксимации парето-оптимальных множеств в плоскости нормированное время жизни  $V_T^1 / T$ –нормированные дивиденды  $V_T^0 / cT$  (рис 1, а) и вероятность разорения  $V_T^3$ –нормированные дивиденды  $V_T^0 / cT$  (рис 1, б).

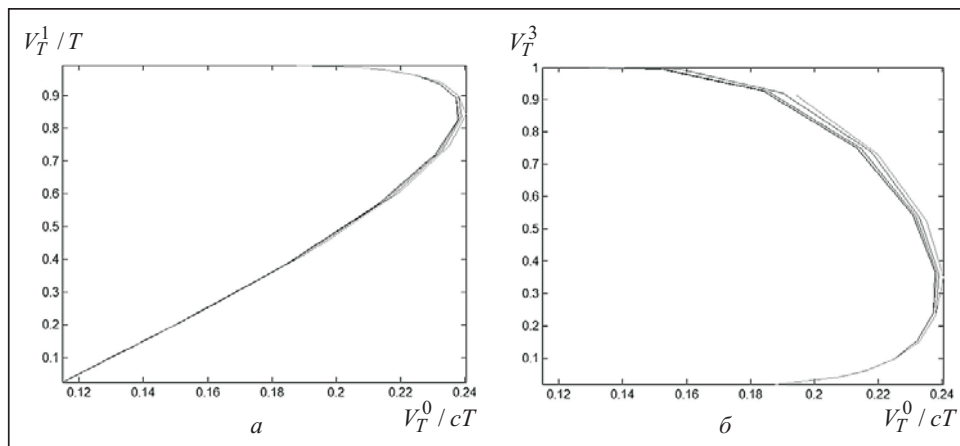


Рис. 1. Графики аппроксимации парето-оптимальных множеств

Численные эксперименты показывают, что на конечном временном интервале при наличии дисконтирующего множителя барьерные стратегии  $u(x) = \max\{0, x - b\}$  доминируют над барьерно-пропорциональными стратегиями  $u(x) = \alpha \max\{0, x - b\}$  при  $\alpha < 1$ , однако в случае отсутствия дисконтирования барьерно-пропорциональные стратегии могут доминировать над барьерными стратегиями.

## ЗАКЛЮЧЕНИЕ

В статье рассмотрена задача стохастического оптимального управления дивидендной политикой страховой компании с интегральными критериями, объединяющими показатели доходности и риска. Установлены условия применимости метода динамического программирования и получены оценки скорости сходимости метода последовательных приближений для решения задачи. В численных экспериментах выявлено, что оптимальные управлении в агрегированной

однокритериальной задаче имеют вид барьерной стратегии. Для построения аппроксимации парето-оптимального множества использованы барьерно-пропорциональные стратегии управления. Численные эксперименты показывают, что на конечном временном интервале при наличии дисконтирующего множителя барьерные стратегии доминируют над барьерно-пропорциональными стратегиями, однако в случае отсутствия дисконтирования барьерно-пропорциональные стратегии могут доминировать над чисто барьерными стратегиями.

#### СПИСОК ЛИТЕРАТУРЫ

1. Finetti B. de. Su un' impostazione alternativa della teoria collettiva del rischio // Trans. the XV-th Intern. Congress of Actuaries. — 1957. — 2. — P. 433–443.
2. Borch K. The theory of risk (with discussion) // J. Roy. Statist. Soc. Ser. B. — 1967. — 29. — P. 432–467.
3. Gerber H.U. An introduction to mathematical risk theory. — Philadelphia: Huebner Foundation Monographs, 1979. — 164 p.
4. Schmidli H. Stochastic control in insurance. — London: Springer-Verlag, 2008. — 254 p.
5. Avanzi B. Strategies for dividend distribution: A review // North Amer. Actuar. J. — 2009. — 13, N 2. — P. 217–251.
6. Albrecher H., Thonhauser S. Optimality results for dividend problems in insurance // Rev. R. Acad. Cien. Ser. A. Math. — 2009. — 103, N 2. — P. 295–320.
7. Asmussen S., Albrecher H. Ruin probabilities. — Sec. ed. — London: World Sci., 2010. — 602 p.
8. Shreve S.E., Lehoczky J.P., Gaver D.P. Optimal consumption for general diffusions with absorbing and deflecting Barriers // SIAM J. Control and Optim. — 1984. — 22, N 1. — P. 55–75.
9. Пиуновский А.Б. Оптимальное управление случайными последовательностями в задачах с ограничениями. — М.: Науч. книга, 1996. — 294 с.
10. Piunovsky A.B. Optimal control of random sequences in problems with constraints. — Dordrecht: Springer, 1997. — 345 p.
11. Sethi S.P. Optimal consumption and investment with bankruptcy. — Boston; Dordrecht; London: Kluwer Acad. Publ., 1997. — 428 p.
12. Paulsen J. Optimal dividend payouts for diffusions with solvency constraints // Finance Stoch. — 2003. — 7, N 4. — P. 457–473.
13. Hipp C. Optimal dividend payment under a ruin constraint: discrete time and state space // Blatter der DGVFM (Blätter der Deutschen Gesellschaft für Versicherungs- und Finanzmathematik e.V.). — 2003. — 26, iss. 2. — P. 255–264.
14. Dickson D.C.M., Waters H.R. Some optimal dividend problems // ASTIN Bulletin. — 2004. — 34, N 1. — P. 49–74.
15. Gerber H.U., Shiu E.S.W., Smith N. Maximizing dividends without bankruptcy // ASTIN Bull. — 2006. — 36, N 1. — P. 5–23.
16. Thonhauser S., Albrecher H. Dividend maximization under consideration of the time value of ruin // Insurance: Mathematics and Economics. — 2007. — 41. — P. 163–184.
17. Bayraktar E., Young V. Maximizing utility of consumption subject to a constraint on the probability of lifetime ruin // Finance and Research Letters. — 2008. — 5, N 4. — P. 204–212.
18. Норкин Б.В. О численном решении задачи стохастического оптимального управления дивидендной политикой страховой компании // Компьютер. математика. — Киев: Ин-т кибернетики им. В.М. Глушкова НАНУ, 2014. — № 1. — С. 131–139.
19. Норкин Б.В. О стохастическом оптимальном управлении процессами риска в дискретном времени // Теория оптимальных решений. — Киев: Ин-т кибернетики им. В.М. Глушкова НАНУ, 2014. — № 1. — С. 55–62.
20. Норкин Б.В. О стохастическом оптимальном управлении процессами риска в дискретном времени // Проблемы управления и информатики. — 2014. — № 5. — С. 00–00.
21. Норкин Б.В. Необходимые и достаточные условия существования и единственности решений интегральных уравнений страховой математики // Кибернетика и системный анализ. — 2006. — № 5. — С. 157–164.
22. Норкин Б.В. О решении основного интегрального уравнения актуарной математики методом последовательных приближений // Укр. мат. журн. — 2007. — 59, № 12. — С. 112–127.

23. Норкин Б. В. Системный имитационный анализ и оптимизация страхового бизнеса // Кібернетика и системний аналіз. — 2014. — № 2. — С. 112–125.
24. Gerber H.U., Shiu E.S.W. On the time value of ruin // North Amer. Actuar. J. — 1998. — 2. — P. 48–78.
25. Discounting, catastrophic risks management and vulnerability modeling / Y. Ermoliev, T. Ermolieva, G. Fischer et al. // Math. and Comput. in Simul. — 2008. — 79. — P. 917–924.
26. Gerber H.U. Entscheidungskriterien fur den zusammengesetzten Poisson-Prozess // Schweiz. Verein. Versicherungsmath. Mitt. — 1969. — 69. — P. 185–228.
27. Bertsekas D. P., Shreve S.E. Stochastic optimal Control: the discrete-time case. — Belmont (Mass.): Athena Sci., 1996. — 323 p.
28. Обен Ж.-П., Экланд И. Прикладной нелинейный анализ. — М.: Мир, 1988. — 512 с.
29. Ширяев А.Н. Вероятность. — М.: Наука, 1980. — 574 с.
30. Rockafellar R.T., Wets R.J-B. Variational analysis. — Berlin: Springer, 1998. — 734 p.
31. Gerber H. The dilemma between dividends and safety and a generalization of the Lundberg–Cramer formulas // Scand. Actuar. J. — 1974. — Iss. 1. — P. 46–57.
32. Albrecher H., Kainhofer R. Risk theory with a nonlinear dividend barrier // Computing. — 2002. — 68, N 4. — P. 289–311.
33. Kushner R.J., Dupuis P. Numerical methods for stochastic control problems in continuous time. — New York: Springer-Verlag, 1992. — 439 p.
34. Норкин Б. В. Об идентификации моделей динамического финансового анализа страховой компании // Комп'ютер. математика. — Київ: Ін-т кібернетики ім. В.М. Глушкова НАНУ. — 2013. — № 2. — С. 24–33.

Поступила 20.12.2013

Б.В. Норкин

Стохастическое оптимальное управление процессами риска с липшицевыми функциями выигрыша

Реферат. Исследуется задача стохастического оптимального управления дивидендной политикой страховой компании в дискретном времени с общей липшицевой функцией выигрыша, включающей индикаторы доходности и риска. Для построения позиционных оптимальных управлений и оценки показателей функционирования компании обоснован метод динамического программирования. Получены оценки скорости сходимости метода последовательных приближений для нахождения, вообще говоря, неограниченных функций Беллмана. Парето-оптимальное множество задачи численно аппроксимируется с помощью барьерно-пропорциональных стратегий управления.

Ключевые слова: процесс риска, страхование, стохастическое оптимальное управление, дискретное время, липшицевые функции выигрыша, оптимальная дивидендная политика, динамическое программирование, метод последовательных приближений, Парето оптимальность, барьерно-пропорциональные стратегии.

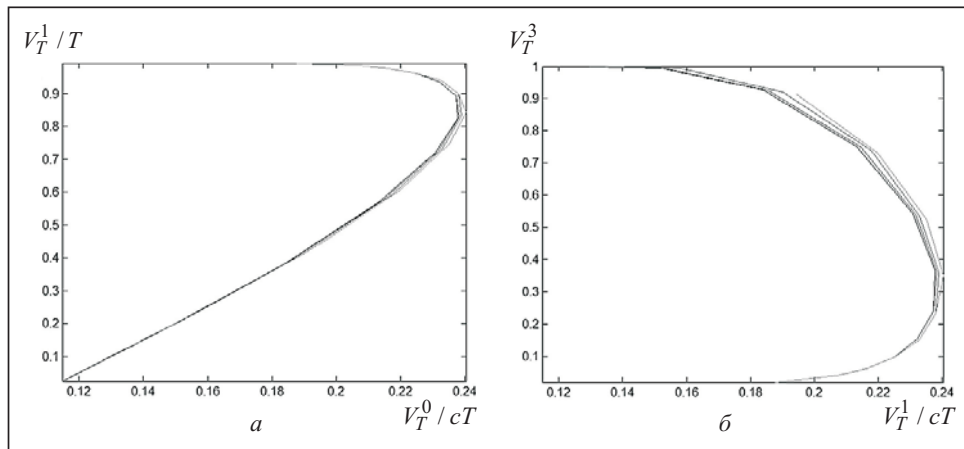


Рис. 1. Пример аппроксимации парето-оптимальных множеств